

$^{238}\text{U}(^{76}\text{Ge},\text{X}\gamma)$  **2009St12**

Type	History		Literature Cutoff Date
	Author	Citation	
Full Evaluation	Balraj Singh	ENSDF	30-Sep-2020

Deep-inelastic reaction.

**2009St12:**  $^{76}\text{Ge}$  beam produced at E=530 MeV by the ATLAS accelerator at Argonne National Laboratory. The  $\gamma$  rays were measured by the Gammasphere array consisting of 100 Compton-suppressed HPGe detectors. Measured  $E_\gamma$ ,  $I_\gamma$ ,  $\gamma\gamma$ . Deduced levels, spins, parities and shell-model configurations.

 $^{77}\text{Ga}$  Levels

$E(\text{level})^\dagger$	$J^\pi^\ddagger$	$E(\text{level})^\dagger$	$J^\pi^\ddagger$	$E(\text{level})^\dagger$	$J^\pi^\ddagger$	$E(\text{level})^\dagger$	$J^\pi^\ddagger$
0.0 <sup>#</sup>	3/2 <sup>(-)</sup>	626.11 <sup>#</sup> 14	(7/2 <sup>-</sup> )	1969.7 3	(11/2 <sup>-</sup> )	2620.7 4	(13/2 <sup>+</sup> )
189.29 <sup>@</sup> 16	(5/2 <sup>-</sup> )	1115.96 <sup>@</sup> 21	(9/2 <sup>-</sup> )	2028.56 24	(9/2 <sup>+</sup> )	3217.4 <sup>@</sup> 4	(17/2 <sup>-</sup> )
473.41 16	(5/2 <sup>-</sup> )	1477.05 <sup>#</sup> 21	(11/2 <sup>-</sup> )	2206.8 <sup>@</sup> 3	(13/2 <sup>-</sup> )		

<sup>†</sup> From least-squares fit to  $E_\gamma$  data.

<sup>‡</sup> From **2009St12**.

<sup>#</sup> Seq.(A):  $\gamma$  cascade based on 3/2<sup>(-)</sup>.

<sup>@</sup> Seq.(B):  $\gamma$  cascade based on (5/2<sup>-</sup>).

 $\gamma(^{77}\text{Ga})$ 

$E_\gamma$	$I_\gamma$	$E_i(\text{level})$	$J_i^\pi$	$E_f$	$J_f^\pi$	$E_\gamma$	$I_\gamma$	$E_i(\text{level})$	$J_i^\pi$	$E_f$	$J_f^\pi$
152.7 2	35 3	626.11	(7/2 <sup>-</sup> )	473.41	(5/2 <sup>-</sup> )	626.1 2	120 9	626.11	(7/2 <sup>-</sup> )	0.0	3/2 <sup>(-)</sup>
189.3 2	264 19	189.29	(5/2 <sup>-</sup> )	0.0	3/2 <sup>(-)</sup>	850.9 2	274 21	1477.05	(11/2 <sup>-</sup> )	626.11	(7/2 <sup>-</sup> )
361.0 2	101 11	1477.05	(11/2 <sup>-</sup> )	1115.96	(9/2 <sup>-</sup> )	853.7 2	41 9	1969.7	(11/2 <sup>-</sup> )	1115.96	(9/2 <sup>-</sup> )
436.8 2	74 7	626.11	(7/2 <sup>-</sup> )	189.29	(5/2 <sup>-</sup> )	912.7 2	34 5	2028.56	(9/2 <sup>+</sup> )	1115.96	(9/2 <sup>-</sup> )
473.4 2	9 1	473.41	(5/2 <sup>-</sup> )	0.0	3/2 <sup>(-)</sup>	926.7 2	188 12	1115.96	(9/2 <sup>-</sup> )	189.29	(5/2 <sup>-</sup> )
551.4 2	100	2028.56	(9/2 <sup>+</sup> )	1477.05	(11/2 <sup>-</sup> )	1010.6 2	24 6	3217.4	(17/2 <sup>-</sup> )	2206.8	(13/2 <sup>-</sup> )
592.1 2	11 4	2620.7	(13/2 <sup>+</sup> )	2028.56	(9/2 <sup>+</sup> )	1090.8 2	94 6	2206.8	(13/2 <sup>-</sup> )	1115.96	(9/2 <sup>-</sup> )

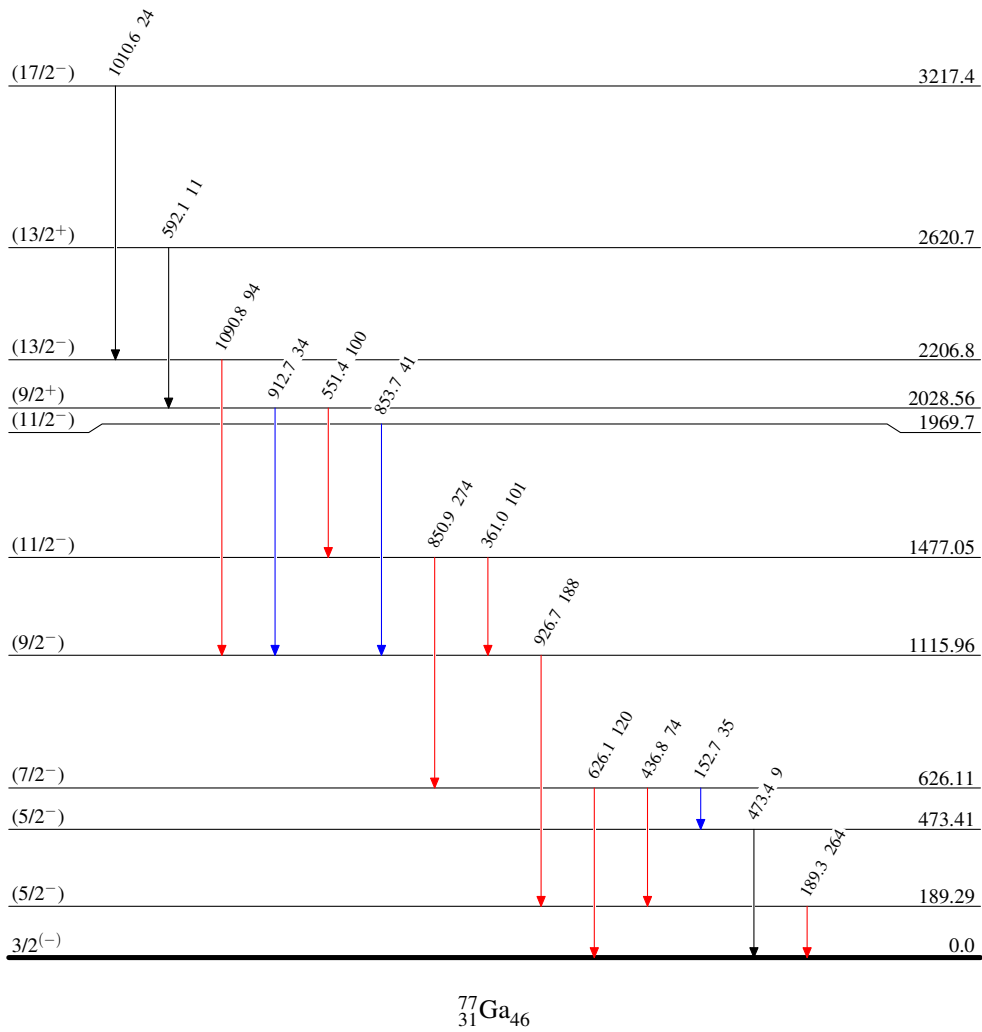
$^{238}\text{U}(^{76}\text{Ge}, X\gamma)$  2009St12

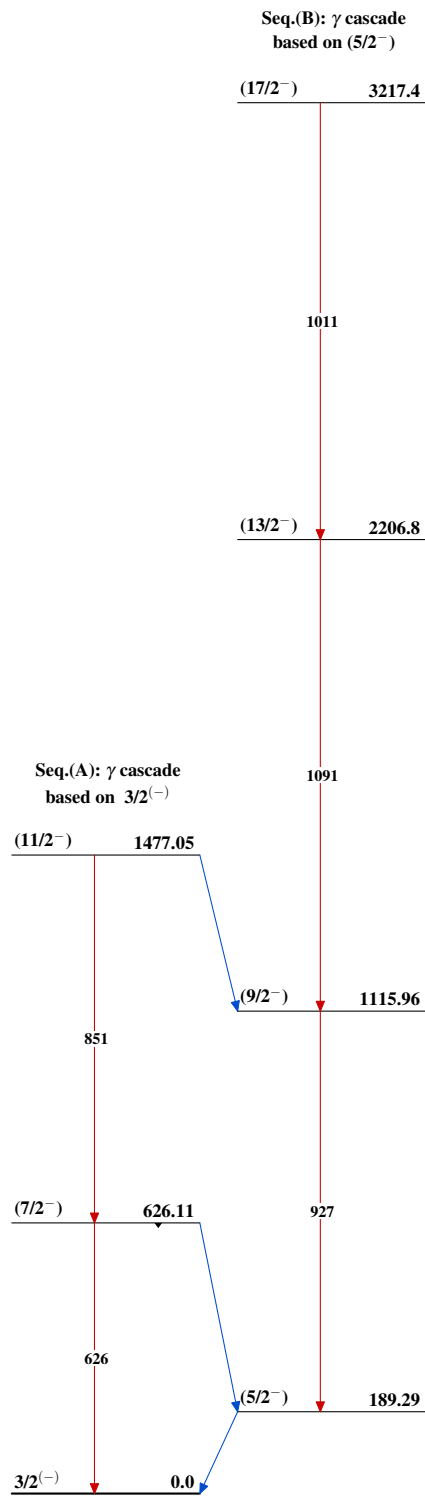
## Level Scheme

Intensities: Relative  $I_\gamma$ 

## Legend

- $I_\gamma < 2\% \times I_\gamma^{\text{max}}$
- $I_\gamma < 10\% \times I_\gamma^{\text{max}}$
- $I_\gamma > 10\% \times I_\gamma^{\text{max}}$



$^{238}\text{U}(^{76}\text{Ge}, X\gamma)$  2009St12 $^{77}\text{Ga}_{46}$